

УДК 532.592

© 2001 г. В.А. КАЛИНИЧЕНКО

## **КИНЕМАТИЧЕСКИЕ ХАРАКТЕРИСТИКИ ПОТОКА ЖИДКОСТИ В КАНАЛЕ С ПРОФИЛИРОВАННЫМ ДНОМ**

Представлены результаты экспериментов по изучению течения жидкости в канале с размываемым и профилированным жестким дном. Кинематические характеристики потока измерялись с помощью лазерного доплеровского анемометра. При интерпретации экспериментальных данных использована линейная модель потенциального обтекания неровностей дна.

Движение осадков при взаимодействии стационарного потока жидкости с размываемым дном сопровождается образованием периодических донных форм и переносом твердых частиц взвешенном и влекомом состояниях [1]. Причина зарождения и развития периодических донных форм на границе раздела жидкость – осадки связывается с вихревым характером обтекания слагающих дно частиц [2], с неустойчивостью границы раздела жидкость – осадки [3] или с наличием в турбулентном потоке жидкости упорядоченных структурных формирований размерами порядка глубины потока [4, 5]. Модель [3] позволяет оценить длину волны двумерной донной гряды как функцию числа Фруда квазиоднородного потока, однако она не может быть использована в практических расчетах, поскольку не учитывает отрыв пограничного слоя в области торможения потока на участке от впадины до гребня донной волны. Из-за сложности поля течения невозможно получить аналитическое решение данной задачи, и все современные подходы основаны или на численном интегрировании уравнений движения [6], или на анализе экспериментальных данных [7, 8].

В настоящее время отсутствуют методы расчета механизмов взаимодействия поток – донные осадки и переноса твердых частиц. Для построения адекватной действительности модели размыва и переноса донных осадков необходима информация о скорости жидкости в придонной области. Следует отметить отсутствие детальных результатов измерений кинематических характеристик потока в области от гребня до впадины донных гряд. Цель настоящего исследования – изучение образования донных гряд в случае размываемого дна и выявление особенностей квазиоднородного потока в случае периодических форм жесткого дна.

**1. Постановка эксперимента.** Эксперименты проводились в гидролотке замкнутого цикла МН 5301 по методике [9]. Длина лотка 160 см, ширина 8 см, высота 14 см. Скорость и глубину потока регулировали изменением расхода воды и положения водосливного затвора.

В качестве осадочного материала использован песок двух типов со средним диаметром 0,35 и 0,60 мм соответственно. Оценка распределения частиц по размерам проводилась с помощью стандартного анализатора MICROTACII. Жесткое профилированное дно канала представляли собой изготовленные из технического пластилина образования идентичной синусоидальной или треугольной формы и размера. Опыты с размываемым дном проводили в диапазоне глубин  $h = 15\text{--}25$  мм и скоростей  $U = 22\text{--}60$  см/с. В случае неразмываемого профилированного дна средняя скорость потока  $U$  изменялась от 13 до 40 см/с, глубина  $h = 2,5\text{--}7,0$  см, длина донных форм

$L = 10\text{--}20$  см. Крутизна  $ak$  донных форм варьировалась от 0,08 до 0,63. Участок профицированного дна в канале имел длину 120 см.

В экспериментах оценивали расход воды и измеряли распределение скорости потока. Смещение границы воды – осадки от начального положения по материалам фотосъемки определяли с точностью 0,5 мм. Кинематические характеристики потока над неразмываемыми донными формами измеряли с помощью стандартного лазерного доплеровского анемометра (ЛДА, DANTEC), собранного по дифференциальной схеме и представляющего собой систему с гетеродированием рассеянного вперед света. Излучение Не-Не-лазера (мощность 10 мВт, длина волны 0,6328 мкм) расщеплялось на два одинаковых по мощности пучка диаметром 1 мм. Оптическое смещение на 40 МГц одного из пучков относительно второго обеспечивало разрешение знаковой неопределенности результатов измерения скорости. Разнесенные на 60 мм параллельные пучки пересекались в задней фокальной плоскости 310 мм объектива, образуя в области пересечения измерительный объем  $0,25 \times 0,25 \times 3,5$  мм<sup>3</sup>, который определял локальность измерений скорости. При угле между зондирующими пучками 11,42° расстояние между интерференционными полосами было равно 3,28 мкм, а масштабный коэффициент схемы составлял причину 3,18 (м/с)/МГц. Рассеянный свет собирали объективом и направляли в ФЭУ, выходной сигнал которого поступал на анализатор скорости потока FVA58N20, обеспечивающий статистический анализ доплеровского сигнала в диапазоне скоростей от -0,4 до 1,1 м/с, причем совокупная относительная ошибка измерений скорости не превышала 3%. В экспериментах использована обычная водопроводная вода с достаточным количеством естественных рассеивающих центров. Для измерения профилей скорости излучающая и приемная части оптического тракта ЛДА помещены на столике, имеющем микрометрический ход 12 см по трем ортогональным координатам при разрешении 12 мкм. Большину часть измерений скорости проводили на расстоянии 0,5 м от входного сечения канала.

**2. Теоретическая модель.** Приведем ряд формул, использованных при интерпретации экспериментальных данных.

При описании потока жидкости над жестким профицированным дном используется подход [10, 11]. Рассматривается стационарный потенциальный поток идеальной несжимаемой жидкости в канале, продольное сечение которого описывается функцией

$$y = -h + \eta(x), \quad \eta(x) = a \cos kx, \quad ak \leq 1, \quad k = 2\pi/L$$

где  $a$  – малая величина. Скорость жидкости  $v$  представляется в виде

$$v = \{U + u, v\} = -\nabla \phi = -\nabla(-Ux + \phi^*)$$

где  $u$ ,  $v$  – горизонтальная и вертикальная компоненты возмущенной скорости соответственно.

Если смещение свободной поверхности жидкости описывается функцией  $\zeta(x)$ , то решение граничной задачи для потенциала  $\phi^*$  возмущенного течения жидкости

$$\Delta \phi^* = 0, \quad -h \leq y \leq 0 \tag{2.1}$$

$$y = 0: \quad -\phi_x^* \zeta_x + \phi_y^* = 0$$

$$y = 0: \quad g\zeta + U\phi_x^* = 0$$

$$y = -h: \quad -U\eta_x + \phi_y^* = 0$$

позволяет определить функцию тока

$$\psi = -Uy + \frac{aU^3}{2k \operatorname{ch} kh} \left[ \left( \frac{g}{U^2} + k \right) e^{ky} - \left( \frac{g}{U^2} - k \right) e^{-ky} \right] \frac{\cos kx}{U^2 - c^2} \tag{2.2}$$

$$c^2 = g/k \operatorname{th} kh$$

где  $c$  – скорость распространения волн длины  $L = 2\pi/k$  по поверхности канала глубины  $h$ .

Уравнение свободной поверхности есть

$$\zeta = aU^2 \cos \frac{kx}{\operatorname{ch} kh(U^2 - c^2)}$$

Гребни и впадины свободной поверхности и дна совпадают или смещены на  $L/2$  в соответствии с соотношением между скоростью потока и скоростью распространения волн  $U^2 > c^2$  или  $U^2 < c^2$ . Величина горизонтальной компоненты скорости жидкости в точках, соответствующих гребню ( $u_c$ ) или впадине ( $u_b$ ) донного профиля, определяются соотношением

$$u_{c,b} = U(1 \pm ak) \quad (2.3)$$

Отметим, что любой профиль дна, представимый в виде простой периодической функции  $\eta(x) = \eta(x + L)$ , может быть описан линейной суперпозицией вида  $\eta(x) = \sum_n a_n \cos k_n x$ . Хотя коэффициенты  $a_n$  в каждом конкретном случае малы, их влияние на характер потока вблизи дна может быть значительным, поскольку определяется не амплитудой  $a_n$ , а крутизной  $a_n k_n$  соответствующей гармоники.

Анализ устойчивости плоского размываемого дна проведен в [3]. Показано, что в результате взаимодействия подвижного дна с потенциальным потоком идеальной жидкости на свободной поверхности жидкости и на дне возбуждаются волны, причем донные волны и волны на свободной поверхности жидкости находятся в фазе (дюны) или в противофазе (антидюны), если  $U^2$  больше или меньше  $(g/k)\operatorname{th} kh$  соответственно. Из лабораторных и натурных наблюдений известно, что для заданных скорости и глубины потока и параметров донного материала существует характерная доминирующая длина двумерных донных волн. В [3] на основании эмпирического результата о степенной зависимости расхода осадочного материала от локальной скорости жидкости получено соотношение, связывающее доминирующую длину донных волн и параметры потока

$$\operatorname{Fr}^2 = \frac{U^2}{gh} = \frac{1 + kh \operatorname{th} kh + k\delta \operatorname{ctg} k\delta}{(k\delta)^2 + (2 + k\delta \operatorname{ctg} k\delta)kh \operatorname{th} kh} \quad (2.4)$$

где  $\operatorname{Fr}$  – число Фруда,  $U$  – скорость потока,  $g$  – ускорение силы тяжести,  $k = 2\pi/L$  – волновое число донных форм,  $h$  – глубина жидкости,  $\delta$  – расстояние, на которое изменения расхода наносов запаздывают относительно изменений локальной скорости жидкости.

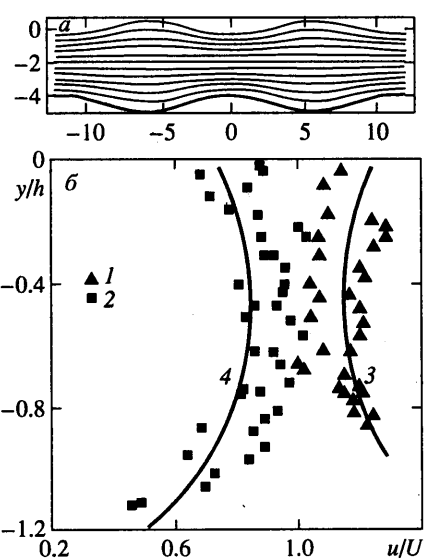
Если соотношение (2.4) описывает общий случай генерации донных форм, то в [12] исследован случай образования антидюон

$$\operatorname{Fr}^2 = \frac{1}{kh \operatorname{th} kh} \quad (2.5)$$

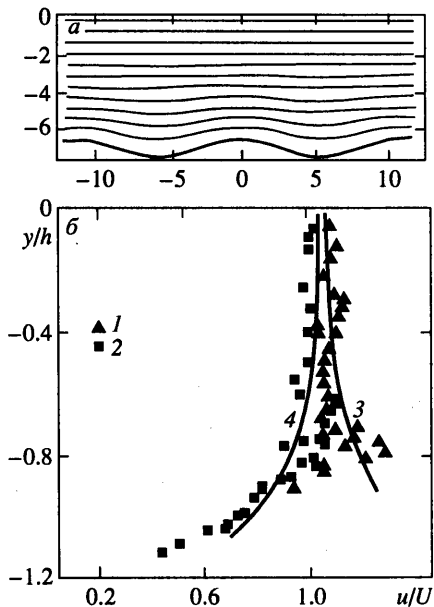
а в [13] – дюон

$$\frac{1}{\operatorname{Fr}^2} = kh \left( \operatorname{th} kh + \frac{6}{\operatorname{sh} 2kh} \right) \quad (2.6)$$

**3. Экспериментальные результаты. Поток над жестким профилированным дном.** На фиг. 1, а жирной кривой показан профиль дна, совпадающий с нулевой линией тока. Длина донных форм  $L = 11,4$  см, их крутизна  $ak = 0,25$ . Структура потока характеризуется стущением линий тока над гребнями и их разрежением над впадинами донных форм. Как следует из фиг. 1б, это приводит к тому, что над гребнем скорость потока достигает величины  $1,27 U$ , а над впадинами –  $0,68 U$ , где  $U$  – скорость невозмущенного потока. Обусловленные наличием донных форм возмущения потока распространяются до свободной поверхности, так как относительная глубина воды



Фиг. 1



Фиг. 2

Фиг. 1. Обтекание жесткого профилированного дна в виде синусоидальной волны при  $a = 0.5$  см,  $L = 11.4$  см,  $h = 4.5$  см,  $U = 38$  см/с: а – линии тока, рассчитанные по (2.2); б – экспериментальные вертикальные профили безразмерной горизонтальной компоненты скорости потока над гребнем (1) и впадиной (2) донной волны, 3, 4 – расчет по (2.2)

Фиг. 2. Обтекание жесткого профилированного дна в виде синусоидальной волны при  $a = 0.5$  см,  $L = 11.4$  см,  $h = 7$  см,  $U = 22.4$  см/с: а – линии тока, рассчитанные по (2.2); б – экспериментальные вертикальные профили безразмерной горизонтальной компоненты скорости потока над гребнем (1) и впадиной (2) донной волны, 3, 4 – расчет по (2.2)

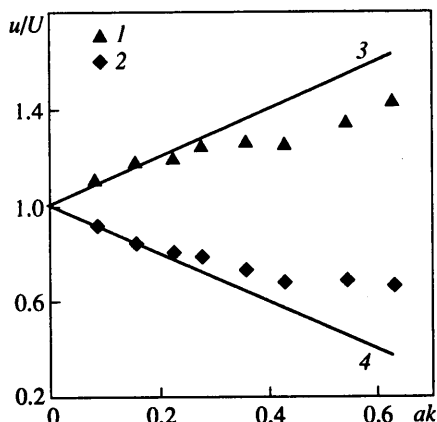
мала:  $kh = 2.45$ . Теория находится в хорошем количественном соответствии с данными эксперимента.

Соотношение (2.2) предполагает зависимость поля скоростей от глубины потока. На фиг. 2 приведены результаты измерений профилей скорости в случае  $kh = 3.85$ .

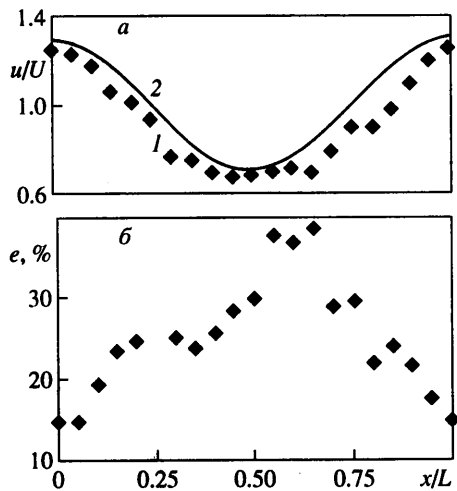
Данные измерений и расчета экстремальных значений горизонтальной скорости над гребнями и впадинами как функции крутизны донных форм представлены на фиг. 3. Безразмерная скорость увеличивается над гребнями и уменьшается над впадинами по мере роста крутизны  $ak$  донной волны. Прямые на фиг. 3 отвечают расчету по (2.3).

На фиг. 4 показаны средняя горизонтальная скорость  $u/U$  и интенсивность турбулентных пульсаций  $e$  горизонтальной скорости как функции безразмерной горизонтальной координаты  $x/L$ . Несмотря на разброс экспериментальных точек, расчеты по (2.2) отражают основные особенности потока жидкости: скорость сначала уменьшается вдоль заднего склона донной волны, достигает минимума в точках, соответствующих впадине, а затем нарастает при продвижении к гребню (фиг. 4, а). Соответствующая пространственная неоднородность потока отмечена в [14], где представлены результаты натурных измерений скорости речного потока над песчаными волнами длины 74 м и амплитуды 2.7 м.

Из фиг. 4, б следует, что наиболее сильное возмущение потока происходит на участке от середины заднего склона до впадины донной волны  $0.2 \leq x/L \leq 0.6$ , где имеют место отрыв потока от дна и его последующее присоединение. На этот участок



Фиг. 3



Фиг. 4

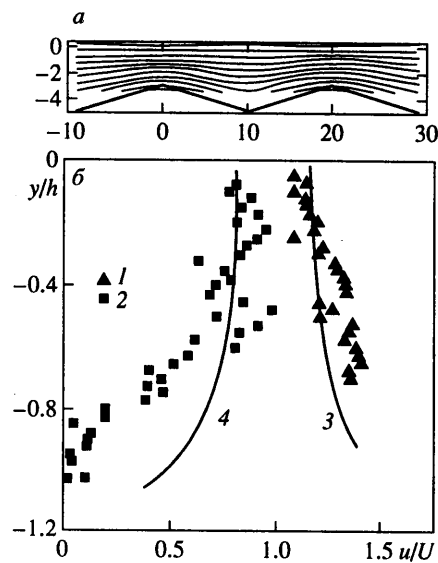
Фиг. 3. Зависимость безразмерной горизонтальной компоненты скорости потока над гребнем (1) и впадиной (2) донной волны от крутизны  $ak$ ; 3, 4 – расчет по (2.3)

Фиг. 4. Распределение средней горизонтальной скорости потока (а) и интенсивности турбулентных пульсаций горизонтальной компоненты скорости потока (б) вдоль длины донной волны на уровне  $y = -5.5$  см при  $a = 1$  см,  $L = 10$  см,  $h = 7$  см,  $U = 21$  см/с: 1 – эксперимент; 2 – расчет по (2.2)

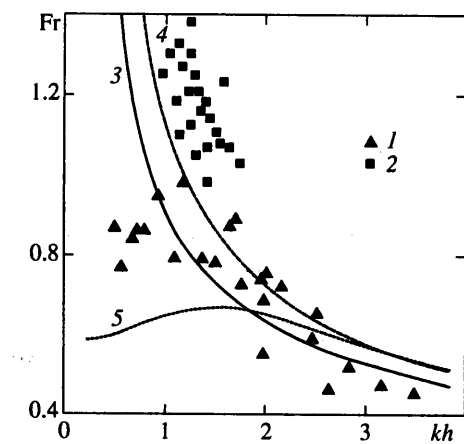
приходятся основные потери энергии и резкое повышение уровня турбулентности. Как и во всех случаях отрывных течений, максимальная интенсивность турбулентности наблюдается в области смешения, т.е. в окрестности линии нулевых осредненных скоростей. Зарождающиеся здесь вихри вовлекаются в поток и способствуют общему повышению уровня турбулентности. Повышенная интенсивность турбулентности наблюдается и у дна на участке безотрывного течения  $0.6 \leq x/L \leq 0.8$ . По данным эксперимента, продольные пульсации здесь почти в 2 раза выше пульсаций над гребнями донных волн.

С целью исследования потока воды над донными формами сложной формы проведены измерения скорости над симметричными "пилообразными" донными образованиями. На фиг. 5 представлены картина возмущений линий тока течения и результаты измерений и расчета средней горизонтальной скорости  $u$  над гребнями и впадинами донных форм. При расчете использован принцип суперпозиции: функция, описывающая донный профиль, раскладывалась в ряд Фурье, для каждой компоненты решалась соответствующая задача обтекания, и полученные решения затем суммировались. Сравнение теории и эксперимента подтверждают правомерность такого подхода.

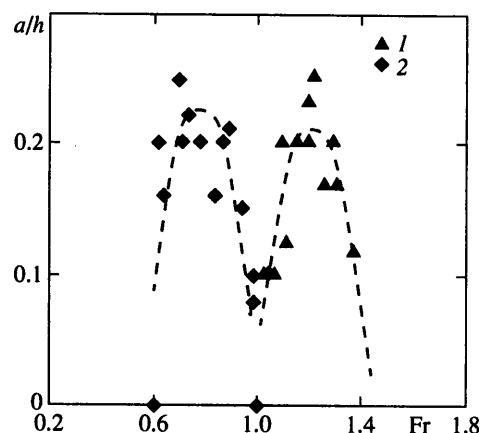
**Поток над размываемым дном.** Эксперименты показали, что для определенных чисел Фруда граница песок – вода становится неустойчивой, и происходит генерация донных форм, причем при  $Fr < 1$  наблюдаются дюны, а при  $Fr > 1$  – антидюны. Указанные песчаные волны имели асимметричный профиль с пологим передним и крутym задним склоном. Если дюны медленно перемещались вниз по потоку, то в случае антидюн возможны ситуации, когда волны оставались неподвижными или перемещались вниз или вверх по потоку. Движение песчаных волн представляло собой перенос песка в придонном слое потока. Фотометрический и визуальный анализ обтекания донных форм потоком показал, что срыв потока происходит на гребне, а его присоединение – во впадине песчаной волны, т.е. на заднем склоне образуется



Фиг. 5. Обтекание жесткого треугольного донного профиля при  $a = 1$  см,  $L = 20$  см,  $h = 4$  см,  $U = 15.3$  см/с:  $a$  – линии тока, рассчитанные по (2.2);  $b$  – экспериментальные вертикальные профили безразмерной горизонтальной компоненты скорости потока над гребнем (1) и впадиной (2) донной волны, 3, 4 – расчет по (2.2)



Фиг. 6



Фиг. 7

Фиг. 6. Диаграмма устойчивости границы раздела вода – песок: 1 – дюны, 2 – антидюны, 3 – расчет по (2.4), 4 – расчет по (2.5), 5 – расчет по (2.6)

Фиг. 7. Зависимость амплитуды донных форм от числа Фруда: 1 – дюны, 2 – антидюны

вихревая зона. Влекомые потоком частицы песка движутся по переднему склону, а затем происходит их накопление на заднем склоне, что приводит к медленному перемещению донных форм. К основным количественным характеристикам генерируемых донных форм относятся высота гребня  $a = 1.5\text{--}6.8$  мм, длина волны  $L = 5.5\text{--}12$  см и скорость перемещения  $c = 1.5\text{--}7$  мм/с.

Определенная периодичность донных форм дает возможность провести количественный анализ экспериментальных данных о размерах и скорости перемещения

волн. На фиг. 6 результаты эксперимента по генерации дюн и антидюн в переменных  $kh$ ,  $Fr$  сопоставлены с данными расчета по (2.4)–(2.6). Кривая 3, определяемая уравнением (2.4), достаточно полно описывает всю совокупность экспериментальных точек, хотя следует отметить значительное различие между теорией и экспериментом в случае дюн ( $Fr < 1$ ). Кривая 4, рассчитанная по (2.5) и описывающая длины волн в случае антидюн, практически совпадает с кривой 3. Это объясняется одинаковыми исходными предположениями, сделанными при построении моделей [3] и [12]. Наибольшее различие экспериментальных данных наблюдается с кривой 5, описывающей генерацию дюн по соотношению (2.6). Согласно [3], указанный разброс данных может быть обусловлен трехмерной структурой дюн, генерируемых в некоторых экспериментах. Кроме того, в [15] для заданного значения  $kh$  отмечена возможность генерации дюн в достаточно широком диапазоне чисел Фруда.

Анализ данных на фиг. 7 показал неоднозначную зависимость высоты донных форм от скорости течения. Генерация песчаных волн происходила в конечном интервале скорости течения; при увеличении скорости потока высота дюн и антидюн возрастила, достигая максимума  $a/h \sim 0,18$ , а затем уменьшалась до нуля. Проведенные в [16] численные оценки зависимости высоты песчаных волн (диаметр частиц  $d = 0,2$  мм,  $h = 10$  м) от средней скорости потока в случае взвешенных и влекомых частиц песка качественно подтверждают полученный экспериментальный результат. Отметим, что независимо от высоты донных форм скорость их перемещения увеличивается с ростом числа Фруда (скорости потока), т.е. эта скорость в более значительной степени зависит от скорости течения, чем от высоты песчаных волн.

**Заключение.** Донные формы существенно влияют на профили средней скорости и величины турбулентных пульсаций. Получено общее соответствие между теоретической моделью безотрывного потенциального обтекания и экспериментальными данными, хотя и имеется расхождение в значениях горизонтальной скорости в области вблизи дна. Это связано с образованием крупномасштабных локализованных вихрей в области заднего склона донных форм. Линейность теоретической модели позволила использовать принцип суперпозиции при исследовании течения над дном сложной топографии.

Работа выполнена при поддержке Российского фонда фундаментальных исследований (код проекта 99-01-01080).

## СПИСОК ЛИТЕРАТУРЫ

1. Великанов М.А. Три типа движения речных наносов // Изв. АН СССР. ОТН: Энергетика и транспорт. 1963. № 1. С. 122–128.
2. Гончаров В.Н. Динамика русловых потоков. Л.: Гидрометеоиздат, 1962. 374 с.
3. Kennedy J.F. The mechanics of dunes and antidunes in erodible-bed channels // J. Fluid Mech. 1963. V. 16. Pt 4. P. 521–544.
4. Михайлова Н.А. Перенос твердых частиц турбулентными потоками воды. Л.: Гидрометеоиздат, 1966. 234 с.
5. Гришанин К.В. Динамика русловых потоков. Л.: Гидрометеоиздат, 1979. 311 с.
6. Mendoza C., Shen H.W. Investigation of turbulent flow over dunes // Trans. ASME J. Hydraulic Div. 1990. V. 116. № 4. P. 459–477.
7. Ranasoma K.I.M., Sleath F.A. Combined oscillatory and steady flow over ripples // Trans. ASME J. Waterw. Port Coastal Ocean Eng. 1994. V. 120. № 4. P. 331–346.
8. Мельникова О.Н. Формирование песчаных гряд на дне руслового потока стационарными волнами // Изв. РАН. Физика атмосферы и океана. 1996. Т. 32. № 3. С. 426–430.
9. Kalnichenko V.A., Wongwises S. On the structure of free surface flow over complex topographic features // Proc. ASME Fluids' Engineering Division Summer Meeting. Vancouver, Canada. 1997. P. 1–6.

10. Сретенский Л.Н. Теория волновых движений жидкости. М.: Наука, 1977. 815 с.
11. Davies A.G. Wave interactions with rippled sand beds // Physical Oceanography of Coastal and Shelf Seas / Ed. B. Johns. Amsterdam: Elsevier, 1983. P. 1–65.
12. Holtorff G. Resistance to flow in alluvial channels // Trans. ASME. J. Hydraulic Div. 1982. V. 108. №. HY9. P. 1010–1028.
13. Mercer A.G. Analysis of alluvial bed-forms // River Mechanics / Ed. H.W. Shen. Fort Collins, Colorado: Colorado State Univ., 1971. V. 1. P. 10.1–10.26.
14. McLean S.R., Smith J.D. A model of flow over two-dimensional bedforms // Trans. J. Hydraulic Eng. 1986. V. 112. № 4. P. 300–317.
15. Engelund F. Instability of erodible beds // J. Fluid Mech. 1970. V. 42. Pt. 2. P. 225–244.
16. Fredsøe J., Deigaard R. Mechanics of Coastal Sediment Transport. Singapore: World Sci., 1992. 325 p.

Москва

Поступила в редакцию  
17.I.2001